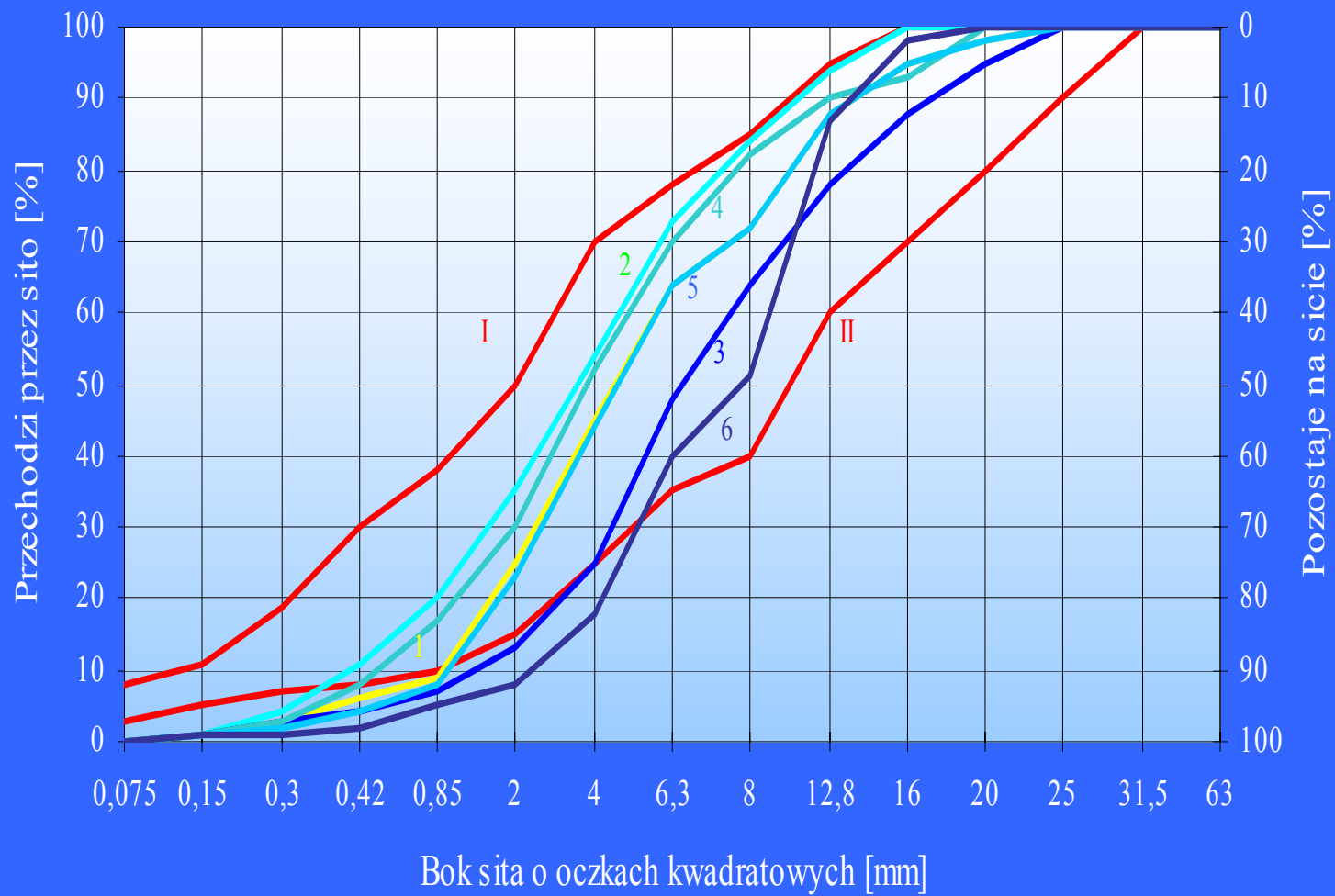
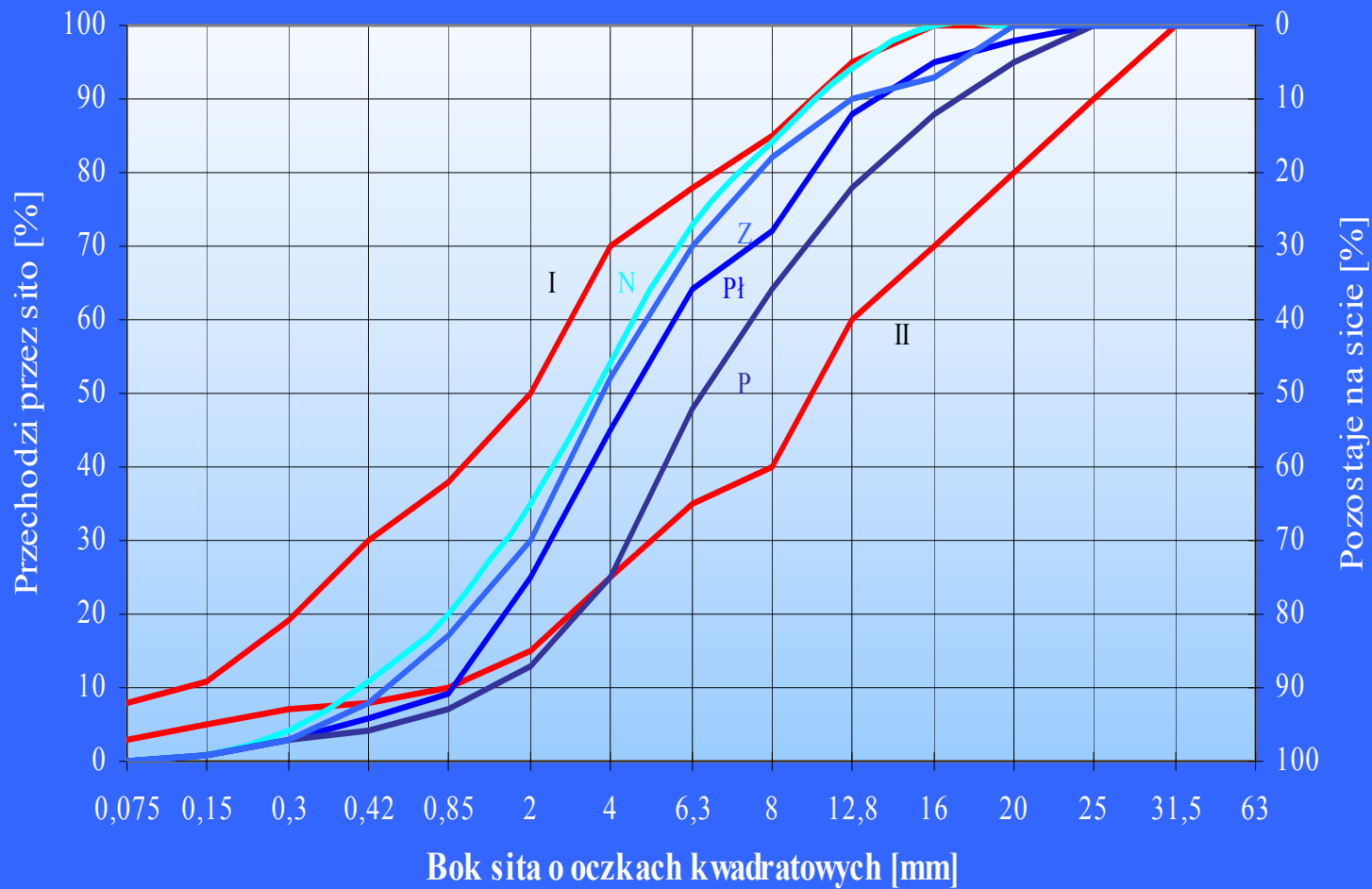


RECYKLING NAWIERZCHNI
ASFALTOWYCH NA ZIMNO Z
DODATKIEM CEMENTU W ILOŚCI
 $\geq 5\%$

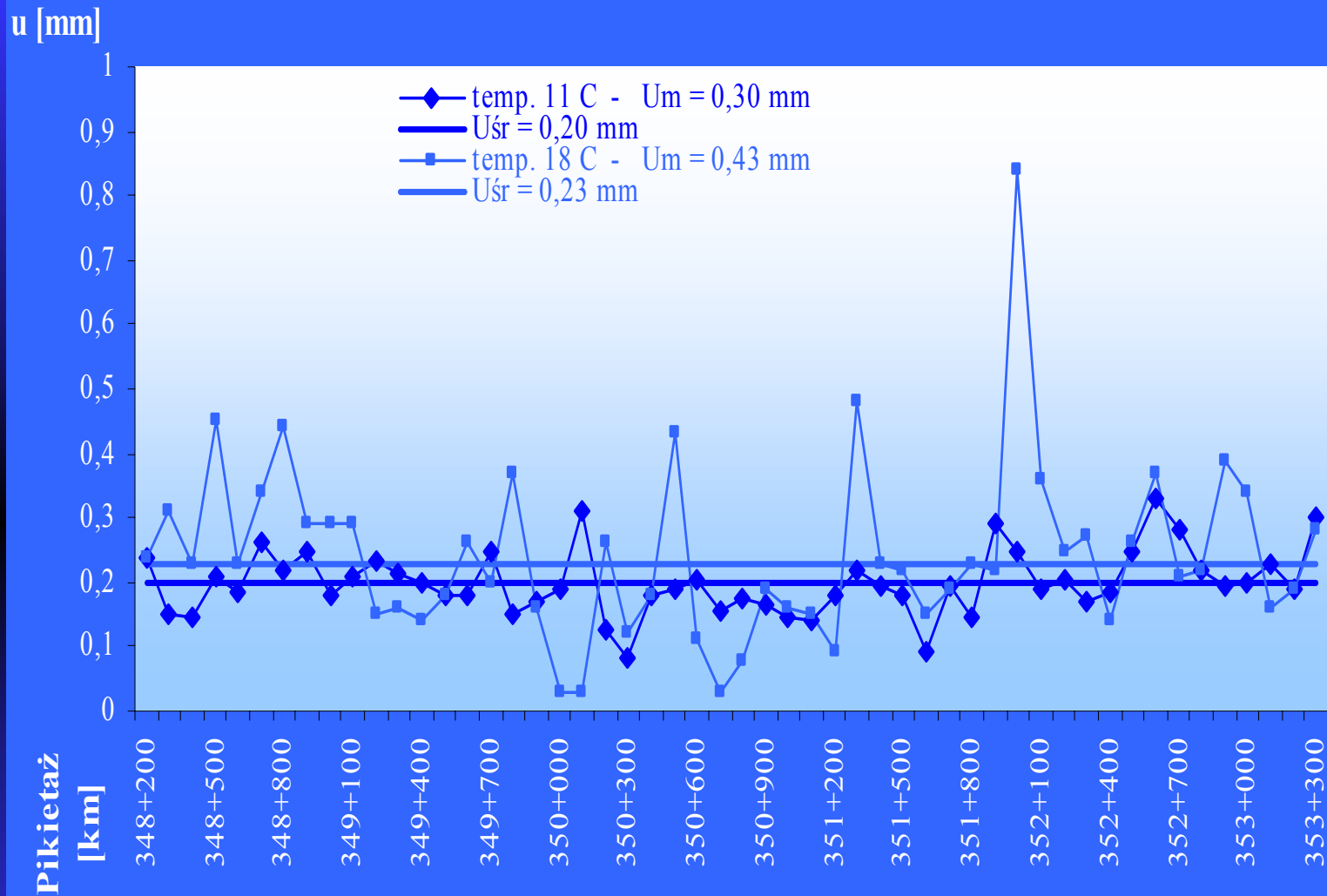
Jan Kukiełka
Politechnika Lubelska



Rys. 1 Krzywe uziarnienia destruktu z ulic Lublina



Rys. 2 Krzywe uziarnienia destruktu z ulic Lublina



Rys. 3 Ugięcia pomierzone za pomocą belki Benkelmana na drodze nr 19 odcinek Borki - Kock 2001 r.

u [μ m]

250

200

150

100

50

0

Pikietaż
[Km]

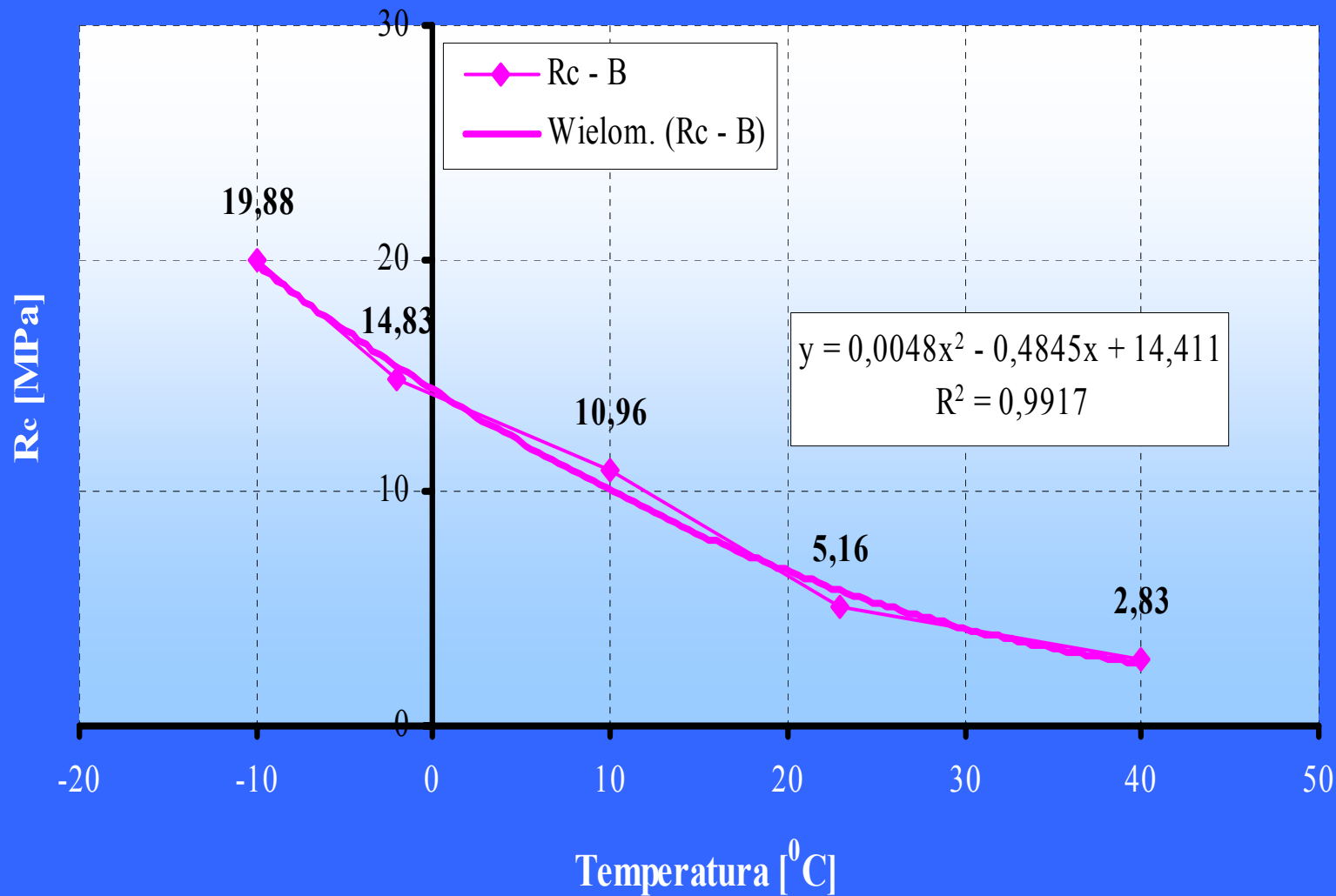
348.300
348.400
348.500
348.600
348.700
348.800
348.900
349.000
349.100
349.200
349.300
349.400
349.500
349.600
349.700
349.800
349.900
350.000
350.100
350.200
350.300
350.400
350.500
350.600
350.800
350.900
351.000
351.100
351.200
351.300
351.400
351.500
351.600
351.700
351.800
351.900
352.000
352.100
352.200
352.300
352.400
352.500
352.600
352.700
352.800
352.900
353.000
353.100
353.200
353.300

◆ marzec 2001 ■ październik 2001 — Uśr=151 — Uśr=133

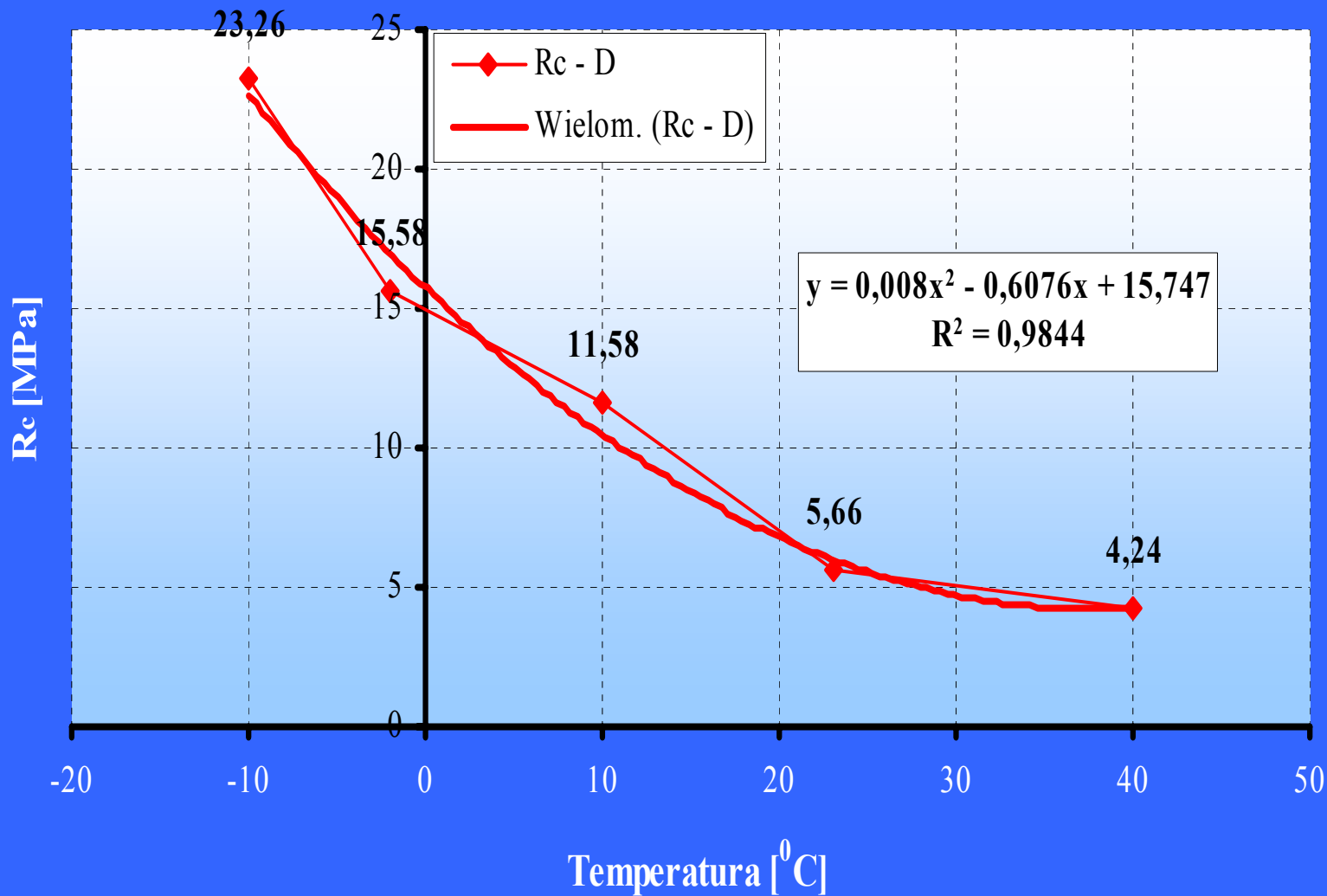
Rys. 4 Ugięcia pomierzone w osi płyty FWD w temperaturze badania 5⁰ C .

Tablica nr 1. Przemieszczenie w osi FWD nawierzchni drogi nr 19 Radzyń - Kock, km 348+300 - 353+300 przeliczone na obciążenie 0,7 MPa.

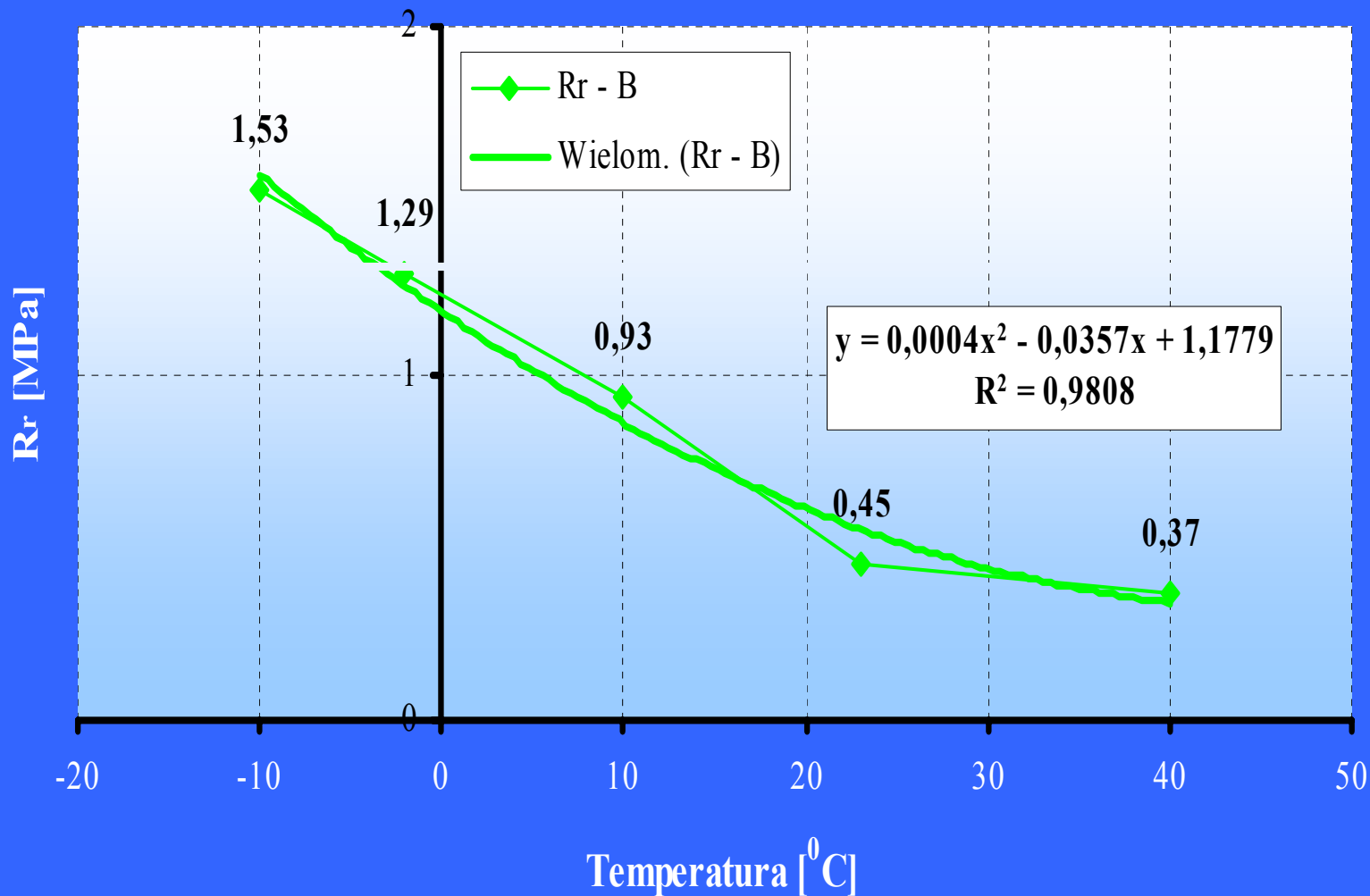
Temperatura badania [°C]	u_{sr} [mm]	σ [mm]	ν [%]	u_m [mm]
4	0,122	0,017	13,7	0,156
6	0,133	0,018	13,6	0,169
7	0,133	0,018	13,6	0,169
8	0,133	0,018	13,6	0,169
9	0,133	0,018	13,6	0,169
11	0,136	0,019	13,7	0,174
11'	0,137	0,019	13,6	0,175
20	0,190	0,025	13,3	0,240
23	0,198	0,029	14,7	0,256
23'	0,204	0,028	13,8	0,260
29	0,226	0,030	13,4	0,287
31	0,249	0,040	15,8	0,329



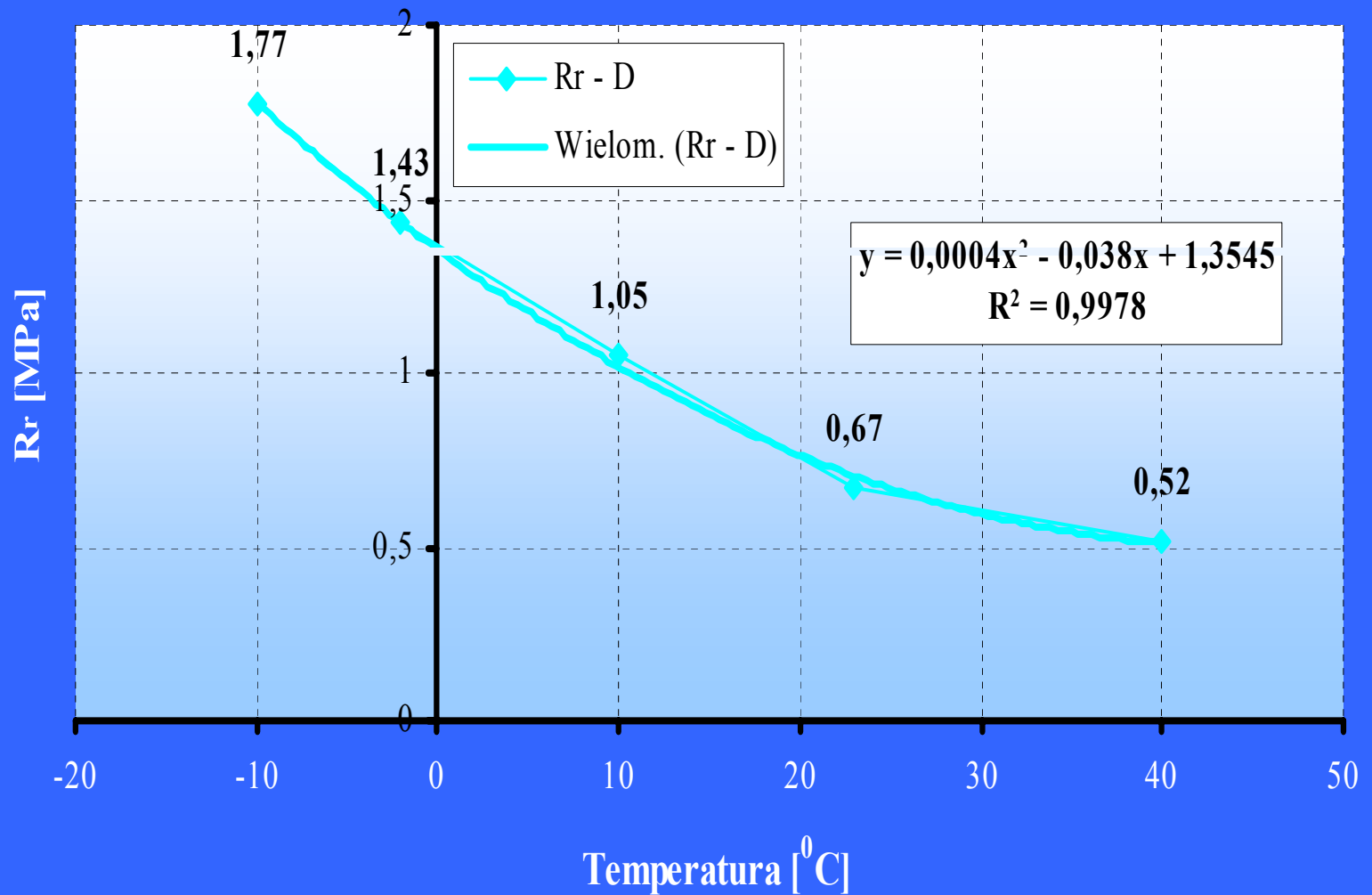
Rys. 5 Wpływ temperatury na wytrzymałość na ściskanie próbek Marshalla z mieszanki B po 28 dniach twardnienia.



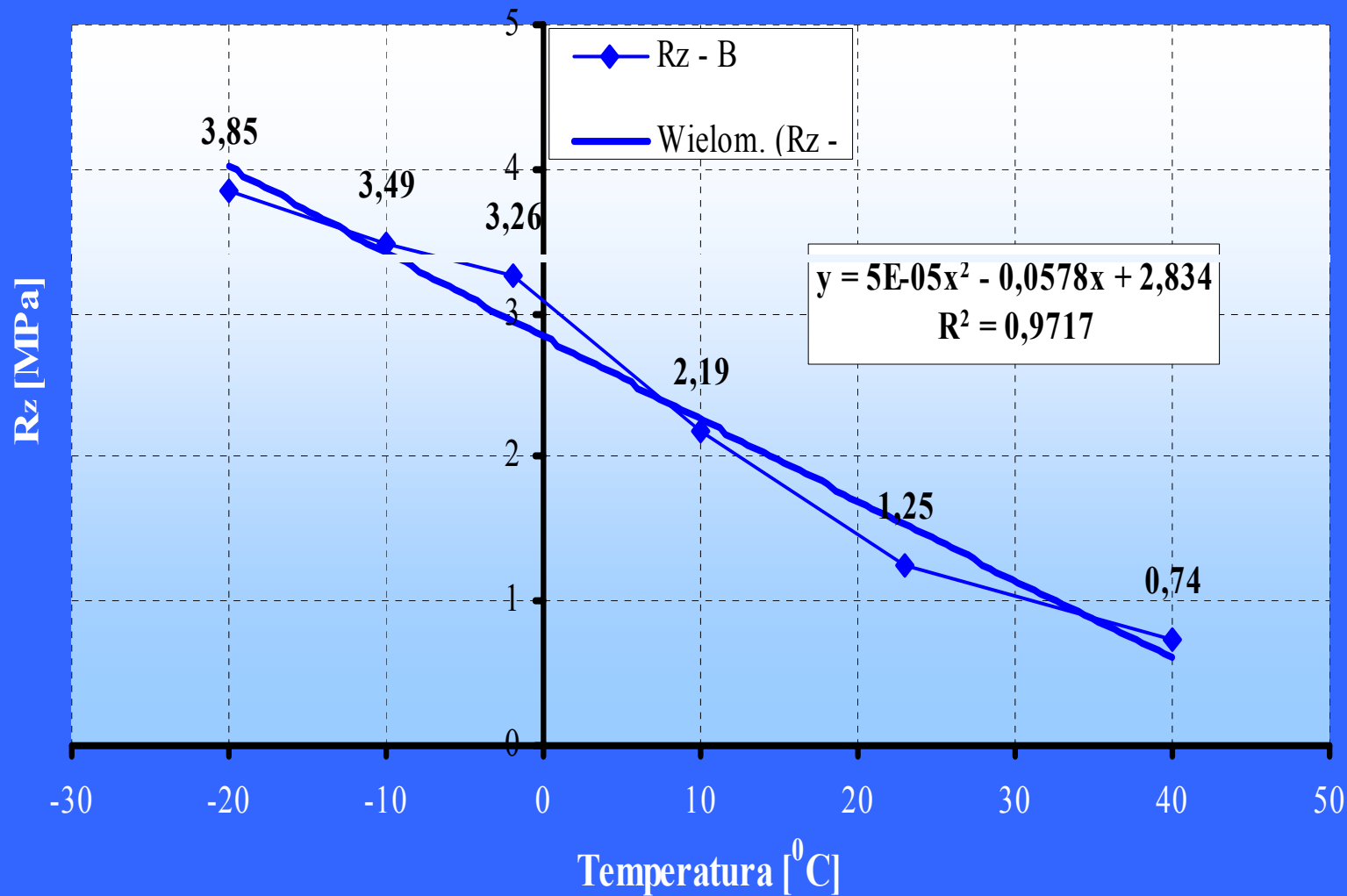
Rys. 6 Wpływ temperatury na wytrzymałość na ściskanie próbek Marshalla z mieszanki D po 28 dniach twardnienia.



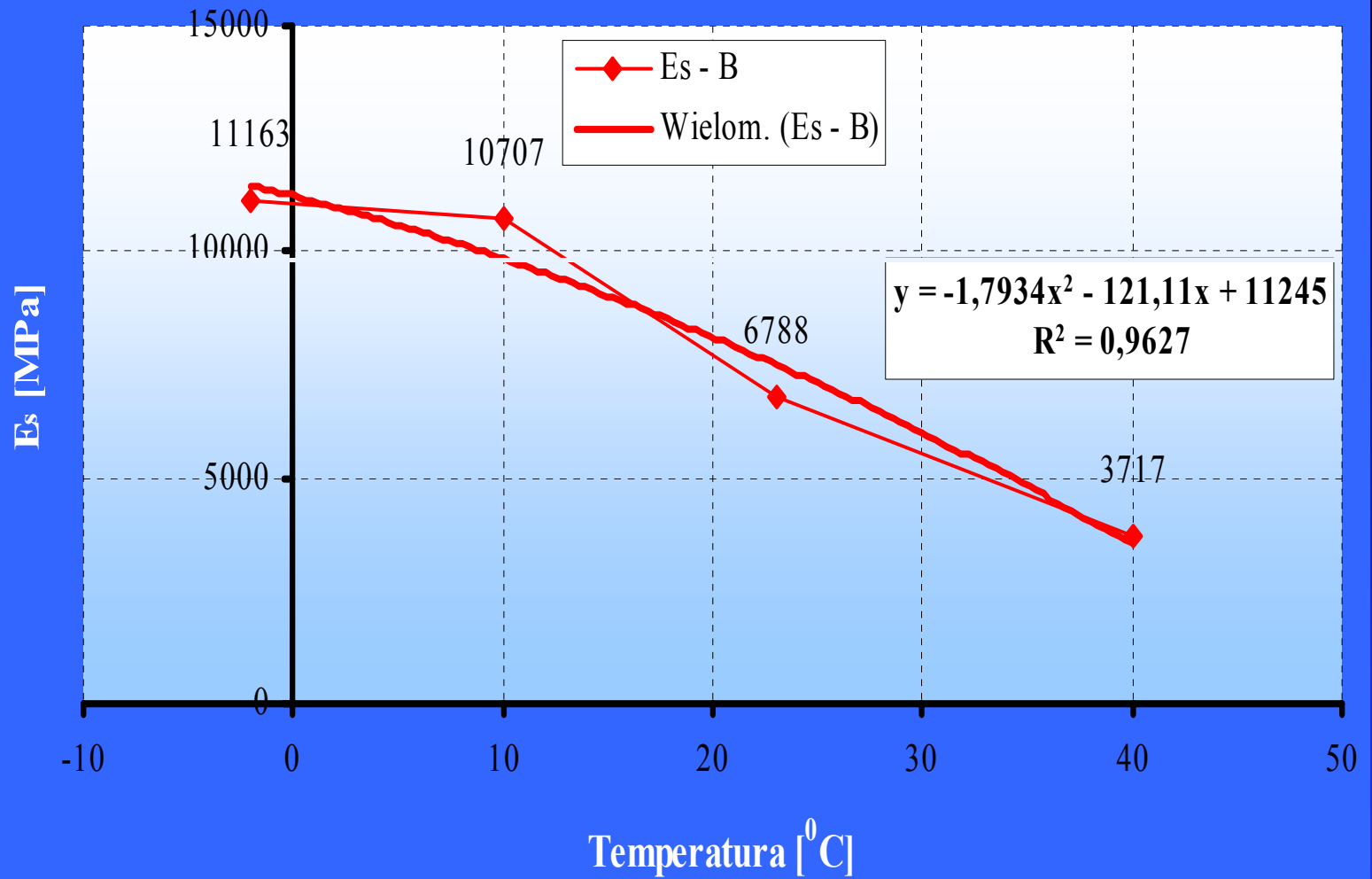
Rys. 7 Wpływ temperatury na wytrzymałość na rozciąganie pośrednie próbek Marshalla z mieszanki B po 28 dniach twardnienia.



Rys. 8 Wpływ temperatury na wytrzymałość na rozciąganie pośrednie próbek Marshalla z mieszanki D po 28 dniach twardnienia.



Rys. 9 Wpływ temperatury na wytrzymałość na zginanie beleczek 8x8x44 cm z mieszanki B po 28 dniach twardnienia.



Rys. 10 Moduł sztywności sprężystej próbek Marshalla z mieszanki B wyznaczony w aparacie NAT po 28 dniach twardnienia.